

ТЕРМОДИНАМИЧЕСКОЕ МОДЕЛИРОВАНИЕ ПРОЦЕССА
СИНТЕЗА ПЛЕНОК ОКСИДОВ ВАНАДИЯ
И ЕГО ЭКСПЕРИМЕНТАЛЬНАЯ РЕАЛИЗАЦИЯ

© 2023 г. В. А. Шестаков^{a, b, *}, В. А. Селезнев^c, С. В. Мутилин^c, В. Н. Кичай^a, Л. В. Яковкина^a

^aИнститут неорганической химии им. А.В. Николаева СО РАН,
пр-т Академика Лаврентьева, 3, Новосибирск, 630090 Россия

^bНовосибирский государственный архитектурно-строительный университет,
ул. Ленинградская, 113, Новосибирск, 630008 Россия

^cИнститут физики полупроводников им. А.В. Ржанова СО РАН,
пр-т Академика Лаврентьева, 13, Новосибирск, 630090 Россия

*e-mail: vsh@niic.nsc.ru

Поступила в редакцию 01.12.2022 г.

После доработки 02.02.2023 г.

Принята к публикации 03.02.2023 г.

Проведено термодинамическое моделирование и экспериментальное исследование процесса синтеза пленок оксидов ванадия при разных температурах из прекурсора тетракис-этилметиламинована-надий $V[NC_3H_8]_4$ в присутствии кислорода и атмосфере аргона. При термодинамическом моделировании использовали метод расчета химических равновесий, основанный на минимизации энергии Гиббса системы. В экспериментальной части работы для синтеза пленок применяли методику атомно-слоевого осаждения. Результаты термодинамического моделирования и экспериментальные данные соответствуют друг другу и могут быть использованы для разработки методик синтеза пленочных покрытий на основе оксидов ванадия.

Ключевые слова: термодинамическое моделирование, атомно-слоевое осаждение, тонкие пленки, диоксид ванадия, пентаоксид ванадия

DOI: 10.31857/S0044457X23600019, **EDN:** SOHBQS

ВВЕДЕНИЕ

Диоксид ванадия (VO_2) относится к сильно-коррелированным электронным квантовым материалам, в котором проявляется сверхбыстрый (26 фс) [1] обратимый фазовый переход I рода полупроводник–металл при температурах 68°C [2–5]. При этом в нем происходит структурный фазовый переход: моноклинная ($VO_2(M)$) кристаллическая решетка преобразуется в тетрагональную ($VO_2(R)$). Фазовый переход в VO_2 сопровождается резким изменением (на несколько порядков по величине) его электрических и оптических характеристик [6–9]. Такие уникальные свойства фазового перехода в VO_2 открывают многообещающие возможности для применения этого соединения в ряде новых устройств электроники и фотоники, в частности в нейроморфных системах, резистивных переключателях, элементах памяти, тепловых переключателях, голограмических носителях информации, перестраиваемых отражающих зеркалах, энергоэффективных окнах и многих других [10–19].

Отмеченный фазовый переход сопровождается изменением постоянной решетки почти на 1%, что приводит к появлению сильных механических напряжений в материале VO_2 с последующим образованием трещин [20]. Поэтому, как правило, VO_2 синтезируется в виде тонких пленок [21–27]. В настоящее время используется широкий набор методов для получения пленок VO_2 : золь–гель метод [28], магнетронное распыление [29], химическое осаждение из газовой фазы [30] и др. [31–33]. Наиболее контролируемым, позволяющим синтезировать предельно тонкие однородные слои VO_2 , является атомно-слоевое осаждение (ACO) [34]. Суть метода заключается в постоянной подаче инертного газа–носителя в камеру–реактор и раздельному попеременному введению газообразных реагентов в этот поток так, что химические реакции, приводящие к росту пленок, протекают только в хемосорбированных слоях, т.е. с исключением реакций в газовой фазе.

Одна из основных трудностей в синтезе высококачественных пленок VO_2 заключается в нали-

чи в системе V–O многих оксидных форм и различных полиморфов [35]. Ванадий может существовать в четырех степенях окисления: 2+, 3+, 4+, 5+, в результате фазовая диаграмма V–O богата различными оксидами ванадия, которые могут образовываться в пленке. Отдельную задачу представляет формирование кристаллических пленок VO_2 сразу в процессе низкотемпературного АСО, при котором, как правило, получаются кристаллические пленки V_2O_5 или аморфные пленки VO_x , которые с помощью послеростового термического отжига переводятся в VO_2 [36–39].

Цель настоящей работы состояла в определении возможности установления оптимальных условий синтеза пленок VO_2 на кремнии методом АСО с использованием в качестве прекурсора тетракис-этилметиламинованадий $\text{V}[\text{NC}_3\text{H}_8]_4$ (ТЕМАВ) на основе термодинамического моделирования. Термодинамическое моделирование используется для расчета содержания конденсированных фаз и состава газовой фазы в системе, находящейся в термодинамическом равновесии. Оно позволяет предсказать образование фаз и фазовых комплексов¹, образующихся в результате процессов синтеза, поэтому широко используется для описания процессов получения покрытий из газовой фазы [40–43]. Например, результаты термодинамического моделирования CVD-процесса в системе Si–B–N–C–H [40] показали возможность образования тех же самых фазовых комплексов, которые экспериментально получены в работе [44]. В работе [43] результаты моделирования не только полностью соответствуют экспериментальным данным, но и позволяют объяснить некоторые особенности синтеза диоксида ванадия.

ЭКСПЕРИМЕНТАЛЬНАЯ ЧАСТЬ

Методика термодинамического расчета. Равновесный состав газовой фазы и фазовых комплексов определяли посредством минимизации энергии Гиббса системы при заданных T и P . В процессе расчета использовали базу данных и стандартное программное обеспечение банка данных по свойствам материалов электронной техники (БНД СМЭТ) [45]. В качестве дополнения применяли термодинамические данные по оксидам, карбидам и нитридам ванадия из [46, 47]. При расчете принимали следующие допущения. Предполагали, что в системе присутствуют конденсированные фазы постоянного состава и равновесный идеальный газ, образованный из молекулярных форм (специй); химический состав системы в зоне осаждения соответствует эле-

ментному составу входной газовой смеси, а газовая фаза в зоне осаждения находится в термодинамическом равновесии с конденсированными фазами. В качестве исходной термодинамической информации использовали стандартные термодинамические характеристики индивидуальных веществ: $\Delta_f H_{298}^0, S_{298}^0, C_p^0 = f(T)$, имеющиеся в вышеуказанном банке данных и приведенных выше дополнительных источниках. Из-за отсутствия информации о термодинамических свойствах возможных в системе фаз переменного состава эти фазы не учитывали.

Синтез тонких пленок оксидов ванадия. Тонкие пленки VO_x осаждали на подложках Si(100) и SiO_2/Si методом плазменно-стимулированного атомно-слоевого осаждения (ПС-АСО) с чередующимися импульсами ТЕМАВ в качестве прекурсора ванадия и плазмы Ar/O_2 в качестве окислителя. Процесс осаждения проводили при трех различных температурах подложки (150, 170, 200°C) и давлении 30 Па в реакторе SI ALD LL (Sentech, Германия) [48], оснащенном лазерным эллипсометром для мониторинга процесса АСО в режиме реального времени (ALD-RTM, Sentech). Схема реактора подробно описана в работах [49, 50]. Подложки помещали на массивный заземленный металлический электрод-нагреватель, температуру которого задавали с точностью $\pm 0.1^\circ\text{C}$ программным ПИД-регулятором. В качестве газа-носителя ТЕМАВ и для продувки камеры реактора использовали Ar высокой чистоты (99.9998%) с расходом 100 ст. см³/мин. Источник с прекурсором и газовые линии его подачи подогревали до температуры 90°C для исключения его конденсации. Через источник плазмы пропускали аргон с расходом 120 ст. см³/мин. Во время этапа плазмы через источник плазмы пропускали кислород (высокой чистоты 99.999%) с расходом 120 ст. см³/мин, а по линии прекурсора продолжал поступать аргон. Плазму генерировали удаленным источником емкостно-связанной плазмы (ССР), так, что в процессе ПС-АСО подложка была расположена отдельно от области генерации плазмы, удалена от высокоэнергетических ионов и ультрафиолетового излучения, которые могли бы привести к повреждению поверхности подложки [49, 50]. Используемый источник ССР работал на частоте 13.56 МГц при мощности плазмы 200 Вт.

Каждый цикл ПС-АСО состоял из четырех этапов: 1) импульс паров прекурсора ТЕМАВ длительностью 80 мс; 2) продувка Ar; 3) импульс кислородной плазмы; 4) продувка Ar. В экспериментах кроме температуры подложки задавали длительность воздействия кислородной плазмой во втором полуцикле осаждения, которая составляла 15 или 60 с. Цикл периодического осаждения

¹ Фазовый комплекс представляет собой совокупность конденсированных фаз, находящихся в равновесии между собой, а также с газовой фазой.

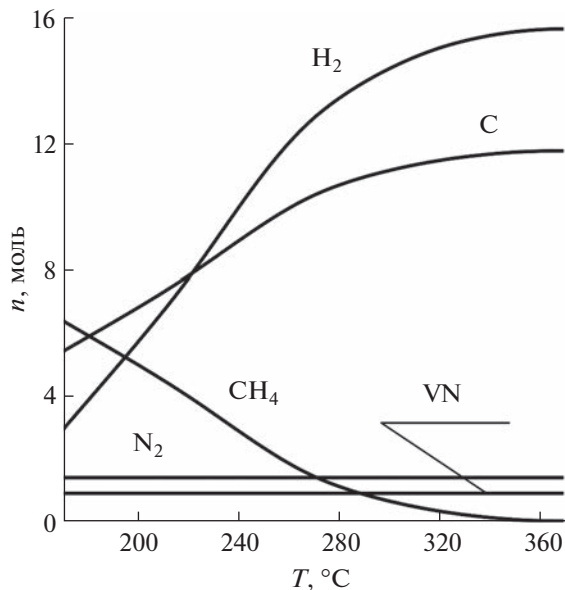


Рис. 1. Содержание конденсированных фаз в фазовом комплексе и молекулярных форм в газовой фазе, образующихся при разложении 1 моля $\text{V}(\text{NC}_3\text{H}_8)_4$.

повторяли до тех пор, пока не достигали желаемой толщины пленки 5 или 30 нм.

Перед загрузкой в реактор подложки химически обрабатывали в смеси $\text{H}_2\text{SO}_4 : \text{H}_2\text{O}_2 = 3 : 1$ в течение 15 мин, промывали в чистой дейонизованной воде и высушивали струей чистого сухого воздуха. После загрузки подложек в реактор по линиям плазмы и прекурсора подавали аргон, в реакторе задавали давление 30 Па и в течение 30 мин достигали стабилизации температуры подложки. Перед началом процесса ПС-АСО проводили обработку подложек кислородной плазмой в течение 10 мин при мощности 200 Вт без подачи прекурсора в реактор. Данная обработка способствовала удалению углеродно-органических загрязнений с поверхности подложки. Динамику процесса осаждения, толщину пленок оксидов ванадия, а также скорость их роста за цикл определяли *in situ* методом эллипсометрии.

Характеризация синтезированных пленок. Фазовый состав кристаллической структуры получаемых пленок исследовали методами рентгеновской дифракции и комбинационного рассеяния света (КРС). Измерения проводили на дифрактометре Shimadzu XRD-7000 (CuK_α -излучение, Ni-фильтр, $2\theta = 5^\circ - 60^\circ$, шаг 0.03, накопление 1–5 с в режиме $\theta - 2\theta$). Индицирование дифрактограмм проводили с использованием программы Search Match и данных картотеки PDF [51]. Спектры КРС регистрировали при комнатной температуре в геометрии обратного рассеяния на спектрометре T64000 Horiba Jobin Yvon со спектральным раз-

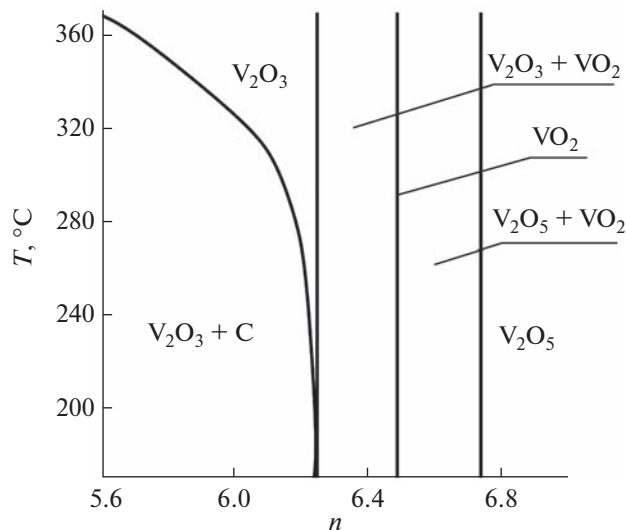


Рис. 2. Зависимость характера фаз и фазовых комплексов, образующихся во второй стадии процесса, от величины параметра n .

решением 0.5 см^{-1} . Для возбуждения использовали линию Ar^+ -лазера с длиной волны 514.5 нм.

РЕЗУЛЬТАТЫ И ОБСУЖДЕНИЕ

Термодинамическое моделирование. Первая стадия процесса синтеза представляет собой разложение прекурсора ТЕМАВ ($\text{V}(\text{NC}_3\text{H}_8)_4$). Расчеты проводили для процесса разложения одного моля этого соединения в присутствии аргона при давлении 30 Па, в интервале температур 170–370°C. В процессе расчета учитывали возможность образования следующих конденсированных фаз: V, VN, $\text{VN}_{0.465}$, V_2C , $\text{VC}_{0.88}$, C (графит), а также 77 молекулярных форм газовой фазы.

Как показали расчеты, единственным фазовым комплексом, образующимся в данных условиях, является VN + C. На рис. 1 показано содержание нитрида ванадия и графита в фазовом комплексе, а также различных молекулярных форм (H_2 , N_2 , CH_4) в газовой фазе в зависимости от температуры реактора.

Как можно видеть из рис. 1, содержание графита в комплексе уменьшается с понижением температуры синтеза. Учитывая это обстоятельство, а также, что температура разложения $\text{V}(\text{NC}_3\text{H}_8)_4$ около 170°C [36], можно сделать вывод об оптимальности температуры 170°C для данной реакции². Дополнительные расчеты показали, что изменение общего давления в реакторе в ин-

² Чем меньше графита будет в фазовом комплексе, тем меньше кислорода (и времени) потребуется для осуществления второй стадии процесса.

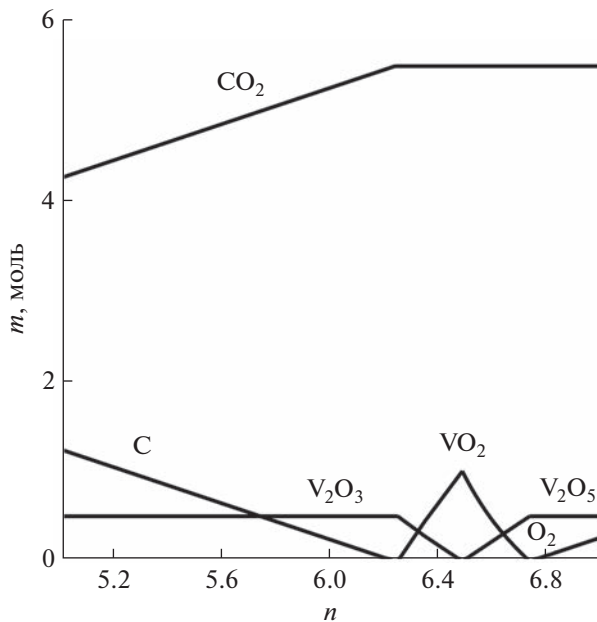
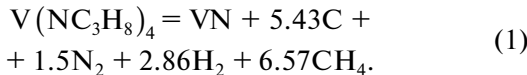


Рис. 3. Содержание фаз в фазовых комплексах, а также молекулярных форм в газовой фазе на второй стадии процесса синтеза в зависимости от величины параметра n .

тервале 10–100 Па не меняет тенденций, показанных на рис. 1.

Вторая стадия синтеза предполагает взаимодействие фазового комплекса, образовавшегося на первой стадии, с кислородом. При синтезе в условиях давления 30 Па и температуры 170°C этот комплекс включает в себя 1 моль VN и 5.43 моля графита что соответствует реакции (рис. 1):

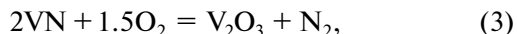


Далее расчеты проводили для этого комплекса. В процессе расчета учитывали возможность образования следующих конденсированных фаз: V , V_3O_7 , V_6O_{13} , V_8O_{15} , V_7O_{13} , V_6O_{11} , V_5O_9 , V_4O_7 , V_2O_5 , VO_2 (две фазы), V_2O_3 , VO , $\text{VN}_{0.465}$, VN , $\text{VC}_{0.88}$, V_2C , C (графит), а также 48 молекулярных форм газовой фазы.

Состав системы, рассматриваемой при моделировании второй стадии синтеза, может быть представлен в виде $\text{Ar} + 5.43\text{C} + \text{VN} + n\text{O}_2$. На рис. 2 представлена диаграмма, показывающая какие фазы и фазовые комплексы образуются в системе при различных значениях параметра n в диапазоне температур 170–370°C и давлении 30 Па. Отметим, что чистому VO_2 отвечает значение $n = 6.49$.

На рис. 3 показано содержание графита, оксидов ванадия, а также двуокиси углерода и кислорода в газовой фазе в зависимости от того же па-

раметра при тех же условиях³. Эта информация позволяет описать механизм второй стадии процесса синтеза как последовательность следующих реакций:



Отметим, что увеличение температуры при второй стадии синтеза приводит к образованию в газовой фазе существенного количества CO в результате реакции равновесия $2\text{CO}_2 = 2\text{CO} + \text{O}_2$. В остальном это, как и изменение давления в реакторе в интервале 10–100 Па, не влияет на механизм процесса.

Экспериментальное подтверждение разложения прекурсора ТЕМАВ при температурах выше 170°C. На рис. 4 приведены данные о толщине осаждаемой пленки, измеренные методом эллипсометрии *in situ* в режиме реального времени, показывающие реакции хемосорбции прекурсора ТЕМАВ и лигандного обмена при различных температурах подложки. Пунктирная кривая на рис. 4 показывает изменение температуры подложки от времени. Видно, что впрыск прекурсора ТЕМАВ приводит к резкому увеличению эффективной толщины осаждаемой пленки, которая уменьшается и выходит на насыщение в процессе продувки реактора аргоном. На данном полуцикле происходит хемосорбция молекул ТЕМАВ на поверхности подложки, а также удаление их излишков с поверхности. Импульс кислородной плазмы приводит к уменьшению эффективной толщины пленки, так как происходит отрыв лигандов от хемосорбированных молекул ТЕМАВ и образование оксида ванадия.

Отметим, что в диапазоне температур подложки от 140 до 165°C обработка кислородной плазмой приводит к более значительному уменьшению эффективной толщины пленки по сравнению с более высокими температурами ($T > 170^\circ\text{C}$). Начиная с температуры подложки 170°C, импульс кислородной плазмы оказывает существенно меньшее влияние на уменьшение толщины пленки. Данная закономерность свидетельствует в пользу того, что при температурах подложки 170°C и выше происходит разложение прекурсора ТЕМАВ. Полученные результаты хорошо согласуются с литературными данными [36].

Атомно-слоевое осаждение пленок V_2O_5 и их характеристика. Результаты термодинамического моделирования показали, что V_2O_5 может быть получен при параметре $n \text{O}_2 > 6.7$. Для подтвер-

³ Содержание аргона ($m(\text{Ar}) = 1$) и азота ($m(\text{N}_2) = 0.5$) в данном процессе остается постоянным и на рис. 2 не показано.

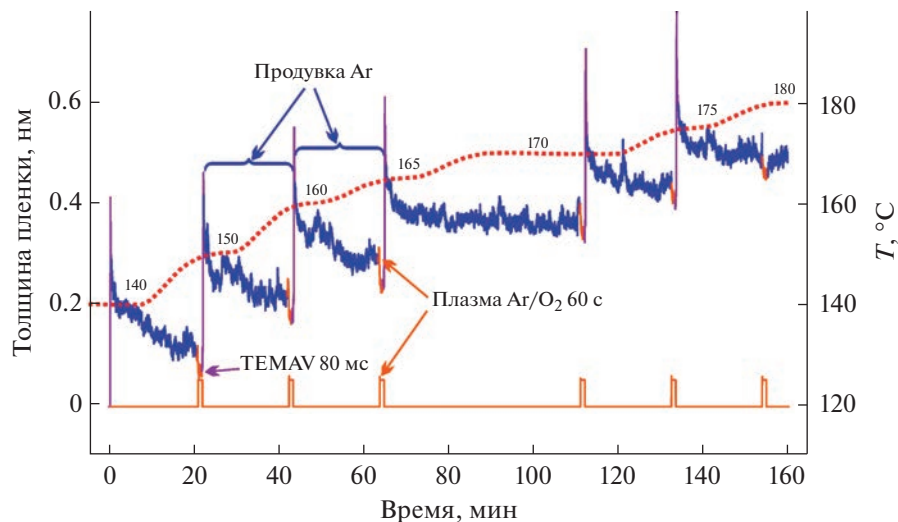


Рис. 4. Динамика изменения толщины пленки в течение шести циклов ПС-АСО в зависимости от температуры синтеза, демонстрирующая реакции хемосорбции ТЕМАВ и лигандного обмена при различных температурах подложки. Толщину пленок измеряли методом эллипсометрии *in situ* в режиме реального времени.

ждения этих расчетов АСО-пленок было проведено при больших концентрациях кислорода в реакторе. На рис. 5 представлены спектры КРС пленок V_2O_5 толщиной 5 нм, выращенных с помощью ПС-АСО на подложках SiO_2/Si при температурах 150, 170 и 200°C. Вертикальными линиями отмечены 8 различных мод (пиков), характерных для орторомбической фазы V_2O_5 ,

относящейся к пр. гр. P_{mm} [52]. Видно, что температура синтеза, составляющая 150°C, недостаточна для формирования кристаллической фазы V_2O_5 . Кристаллическая фаза, согласно данным КРС, формируется при температурах подложки $T \geq 170°C$, когда происходит разложение прекурсора. Похожие результаты получены с помощью рентгенофазового анализа пленок оксидов ванадия толщиной 30 нм, синтезированных при температурах 150 и 170°C (рис. 6). Как следует из

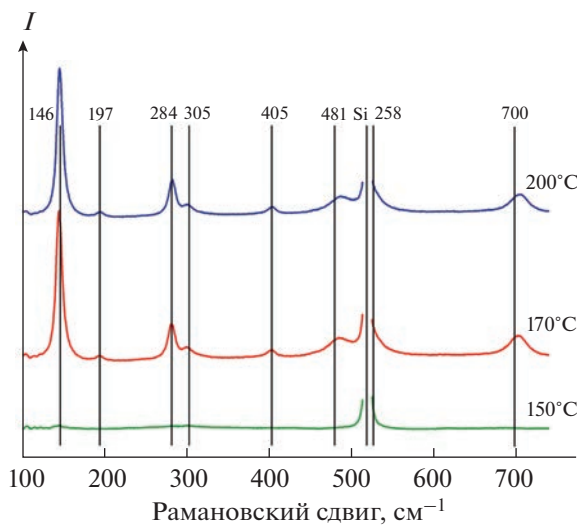


Рис. 5. Спектры КРС пленок оксидов ванадия толщиной 5 нм, синтезированных ПС-АСО на подложках SiO_2/Si при температурах 150, 170 и 200°C. Интенсивный пик от Si подложки при 520.5 cm^{-1} исключен из спектров для наглядности представленных данных. Вертикальными линиями отмечены 8 различных мод (пиков), характерных для орторомбической фазы V_2O_5 .

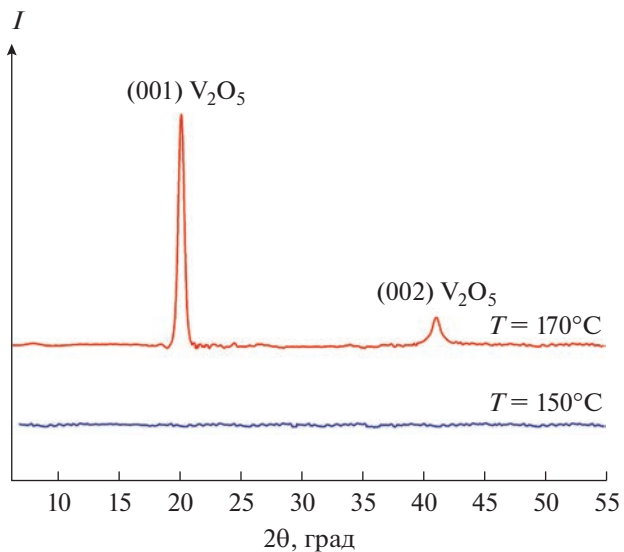


Рис. 6. Дифрактограммы пленок оксидов ванадия толщиной 30 нм, синтезированных методом ПС-АСО при температурах 150 и 170°C. Пики, отмеченные на верхней дифрактограмме, относятся к стабильной фазе V_2O_5 .

рис. 6, пленка, синтезированная при температуре 150°C, не имеет пиков, характерных для кристаллических фаз оксидов ванадия. Пленка, синтезированная при температуре 170°C, имеет два пика, характерных для чистой поликристаллической орторомбической фазы V₂O₅, относящейся к пр. гр. P_{mnn} . Таким образом, проведенные эксперименты по синтезу пленок и их исследованию подтверждают результаты термодинамического моделирования.

ЗАКЛЮЧЕНИЕ

Результаты термодинамического моделирования демонстрируют, что VO₂ может быть получен лишь в очень узкой области изменения содержания кислорода в исходной смеси, а V₂O₅ формируется при высоком содержании кислорода, что подтверждается полученными экспериментальными данными.

Экспериментально показано, что температура разложения прекурсора ТЕМАВ составляет около 170°C и выше, что согласуется с литературными данными [36]. С помощью комбинационного рассеяния света и рентгенофазового анализа показано, что температура синтеза 170°C и выше приводит к формированию в пленках кристаллической фазы V₂O₅ при высоком содержании кислорода в исходной смеси. Таким образом, результаты термодинамического моделирования находятся в согласии с экспериментальными данными.

ФИНАНСИРОВАНИЕ РАБОТЫ

Экспериментальные исследования выполнены в ИФП СО РАН при поддержке Российского научного фонда (проект № 21-19-00873). Работа по термодинамическому моделированию выполнена в ИНХ СО РАН и поддержана Министерством науки и высшего образования Российской Федерации (проект № 121031700314-5).

БЛАГОДАРНОСТЬ

Авторы благодарят ЦКП “ВТАН” НГУ за проведение измерений спектров КРС и ЦКП “Наноструктуры” за предоставление установки АСО для проведения экспериментов.

КОНФЛИКТ ИНТЕРЕСОВ

Авторы заявляют, что у них нет конфликта интересов.

СПИСОК ЛИТЕРАТУРЫ

- Jager M.F., Ott C., Kraus P.M. et al. // Proc. Natl. Acad. Sci. 2017. V. 114. № 36. P. 9558.
<https://doi.org/10.1073/pnas.1707602114>
- Morin F.J. // Phys. Rev. Lett. 1959. V. 3. № 1. P. 34.
<https://doi.org/10.1103/PhysRevLett.3.34>
- Shao Z., Cao X., Luo H. et al. // NPG Asia Mater. 2018. V. 10. № 7. P. 581.
<https://doi.org/10.1038/s41427-018-0061-2>
- Liu K., Lee S., Yang S. et al. // Mater. Today. 2018. V. 21. № 8. P. 875.
<https://doi.org/10.1016/j.mattod.2018.03.029>
- Lu C., Lu Q., Gao M. et al. // Nanomaterials. 2021. V. 11. № 1. P. 114.
<https://doi.org/10.3390/nano11010114>
- Schlag H.J., Scherber W. // Thin Solid Films. 2000. V. 366. № 1–2. P. 28.
[https://doi.org/10.1016/S0040-6090\(00\)00711-2](https://doi.org/10.1016/S0040-6090(00)00711-2)
- Kana Kana J.B., Ndjaka J.M., Vignaud G. et al. // Opt. Commun. 2011. V. 284. № 3. P. 807.
<https://doi.org/10.1016/j.optcom.2010.10.009>
- Sun J., Pribil G.K. // Appl. Surf. Sci. 2017. V. 421. P. 819.
<https://doi.org/10.1016/j.apsusc.2016.09.125>
- Briggs R.M., Pryce I.M., Atwater H.A. // Opt. Express. 2010. V. 18. № 11. P. 11192.
<https://doi.org/10.1364/oe.18.011192>
- Prinz V.Y., Mutilin S.V., Yakovkina L.V. et al. // Nanoscale. 2020. V. 12. № 5. P. 3443.
<https://doi.org/10.1039/C9NR08712E>
- Mutilin S.V., Prinz V.Y., Seleznev V.A. et al. // Appl. Phys. Lett. 2018. V. 113. № 4. P. 043101.
<https://doi.org/10.1063/1.5031075>
- Mutilin S.V., Prinz V.Y., Yakovkina L.V. et al. // CrystEngComm. 2021. V. 23. № 2. P. 443.
<https://doi.org/10.1039/D0CE01072C>
- You Zhou, Ramanathan S. // Proc. IEEE. 2015. V. 103. № 8. P. 1289.
<https://doi.org/10.1109/JPROC.2015.2431914>
- Yang Z., Ko C., Ramanathan S. // Annu. Rev. Mater. Res. 2011. V. 41. № 1. P. 337.
<https://doi.org/10.1146/annurev-matsci-062910-100347>
- Nakano M., Shibuya K., Ogawa N. et al. // Appl. Phys. Lett. 2013. V. 103. № 15. P. 153503.
<https://doi.org/10.1063/1.4824621>
- Kats M.A., Blanchard R., Zhang S. et al. // Phys. Rev. X. 2013. V. 3. № 4. P. 041004.
<https://doi.org/10.1103/PhysRevX.3.041004>
- Rios C., Hosseini P., Wright C.D. et al. // Adv. Mater. 2014. V. 26. № 9. P. 1372.
<https://doi.org/10.1002/adma.201304476>
- Faucheu J., Bourgeat-Lami E., Prevot V. // Adv. Eng. Mater. 2018. P. 1800438.
<https://doi.org/10.1002/adem.201800438>
- Ke Y., Wang S., Liu G. et al. // Small. 2018. V. 14. № 39. P. 1802025.
<https://doi.org/10.1002/smll.201802025>
- Liu T.-J.K., Kuhn K. CMOS and Beyond. Cambridge: Cambridge University Press, 2014.
<https://doi.org/10.1017/CBO9781107337886>
- Zhu H.-F., Du L.-H., Li J. et al. // Appl. Phys. Lett. 2018. V. 112. № 8. P. 081103.
<https://doi.org/10.1063/1.5020930>

22. Ko C., Yang Z., Ramanathan S. // ACS Appl. Mater. Interfaces. 2011. V. 3. № 9. P. 3396.
<https://doi.org/10.1021/am2006299>
23. Qazilbash M.M., Brehm M., Chae B.-G. et al. // Science. 2007. V. 318. № 5857. P. 1750.
<https://doi.org/10.1126/science.1150124>
24. Zimmers A., Aigouy L., Mortier M. et al. // Phys. Rev. Lett. 2013. V. 110. № 5. P. 056601.
<https://doi.org/10.1103/PhysRevLett.110.056601>
25. Chang Y.J., Yang J.S., Kim Y.S. et al. // Phys. Rev. B. 2007. V. 76. № 7. P. 075118.
<https://doi.org/10.1103/PhysRevB.76.075118>
26. Qazilbash M.M., Tripathi A., Schafgans A.A. et al. // Phys. Rev. B. 2011. V. 83. № 16. P. 165108.
<https://doi.org/10.1103/PhysRevB.83.165108>
27. Stroud D. // Phys. Rev. B. 1975. V. 12. № 8. P. 3368.
<https://doi.org/10.1103/PhysRevB.12.3368>
28. Inomata N., Usuda T., Yamamoto Y. et al. // Sensors Actuators A Phys. 2022. V. 346. P. 113823.
<https://doi.org/10.1016/j.sna.2022.113823>
29. Li G., Xie D., Zhong H. et al. // Nat. Commun. 2022. V. 13. № 1. P. 1729.
<https://doi.org/10.1038/s41467-022-29456-5>
30. Yakovkina L.V., Mutilin S.V., Prinz V.Y. et al. // J. Mater. Sci. 2017. V. 52. № 7. P. 4061.
<https://doi.org/10.1007/s10853-016-0669-y>
31. Zhang Y., Xiong W., Chen W. et al. // Nanomaterials. 2021. V. 11. № 2. P. 1.
<https://doi.org/10.3390/nano11020338>
32. Xue X., Zhou Z., Peng B. et al. // RSC Adv. 2015. V. 5. № 97. P. 79249.
<https://doi.org/10.1039/C5RA13349A>
33. Shi R., Shen N., Wang J. et al. // Appl. Phys. Rev. 2019. V. 6. № 1.
<https://doi.org/10.1063/1.5087864>
34. Li J., An Z., Zhang W. et al. // Appl. Surf. Sci. 2020. V. 529. P. 147108.
<https://doi.org/10.1016/j.apsusc.2020.147108>
35. Brahlek M., Zhang L., Lapano J. et al. // MRS Commun. 2017. V. 7. № 1. P. 27.
<https://doi.org/10.1557/mrc.2017.2>
36. Prasadam V.P., Bahlawane N., Mattelaer F. et al. // Mater. Today Chem. 2019. V. 12. P. 396.
<https://doi.org/10.1016/j.mtchem.2019.03.004>
37. Bai G., Niang K.M., Robertson J. // J. Vac. Sci. Technol. A. 2020. V. 38. № 5. P. 052402.
<https://doi.org/10.1116/6.0000353>
38. Niang K.M., Bai G., Robertson J. // J. Vac. Sci. Technol. A. 2020. V. 38. № 4. P. 042401.
<https://doi.org/10.1116/6.0000152>
39. Kozen A.C., Joress H., Currie M. et al. // J. Phys. Chem. C. 2017. V. 121. № 35. P. 19341.
<https://doi.org/10.1021/acs.jpcc.7b04682>
40. Шестаков В.А., Косинова М.Л. // Изв. АН. Сер. хим. 2021. Т. 70. № 2. С. 283.
<https://doi.org/10.1007/s11172-021-3083-9>
41. Шестаков В.А., Косинова М.Л. // Журн. неорг. химии. 2021. Т. 66. № 11. С. 1585.
<https://doi.org/10.31857/S0044457X21110155>
42. Шестаков В.А., Косяков В.И., Косинова М.Л. // Журн. неорган. химии. 2020. Т. 65. № 6. С. 829.
<https://doi.org/10.31857/S0044457X20060215>
43. Шестаков В.А., Яковкина Л.В., Кичай В.Н. // Журн. неорган. химии. 2022. Т. 67. № 12. С. 1746.
<https://doi.org/10.31857/S0044457X22600608>
44. Merenkov I.S., Katsui H., Khomyakov M.N. et al. // J. Eur. Ceram. Soc. 2019. V. 39. № 16. P. 5123.
<https://doi.org/10.1016/j.jeurceramsoc.2019.08.006>
45. Титов В.А., Косяков В.И., Кузнецов Ф.А. Проблемы электронного материаловедения. Новосибирск: Наука, 1986.
46. Kang Y.-B. // J. Eur. Ceram. Soc. 2012. V. 32. № 12. P. 3187.
<https://doi.org/10.1016/j.jeurceramsoc.2012.04.045>
47. Barin I. Termodynamical Data of Pure Substances. N.Y., 1989.
48. Mahmoodinezhad A., Janowitz C., Naumann F. et al. // J. Vac. Sci. Technol. A. 2020. V. 38. № 2. P. 022404.
<https://doi.org/10.1116/1.5134800>
49. Henkel K., Gargouri H., Gruska B. et al. // J. Vac. Sci. Technol. A Vacuum, Surfaces, Film. 2013. V. 32. № 1. P. 01A107.
<https://doi.org/10.1116/1.4831897>
50. Haeberle J., Henkel K., Gargouri H. et al. // Beilstein J. Nanotechnol. 2013. V. 4. № 1. P. 732.
<https://doi.org/10.3762/bjnano.4.83>
51. Powder diffraction Files Inorganic Phases. International Centre for Diffraction Data, Pennsylvania, USA, 2010
52. Ureña-Begara F., Crunceanu A., Raskin J.P. // Appl. Surf. Sci. 2017. V. 403. P. 717.
<https://doi.org/10.1016/j.apsusc.2017.01.160>